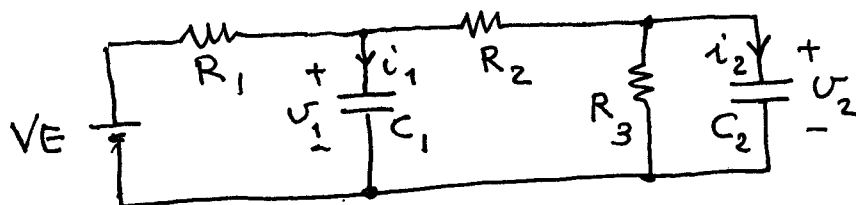


## Soluzione

- Eq. di stato: assumo  $v_1$  e  $v_2$  come variabili di stato e calcolo  $i_1$  e  $i_2$  in funzione di  $v_1$ ,  $v_2$  ed  $V_E$ .



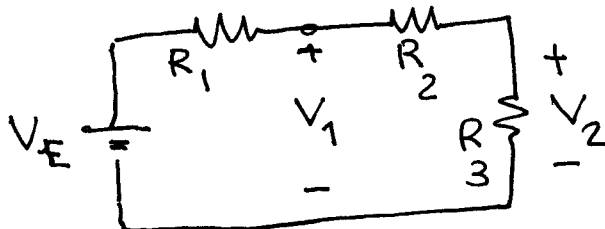
$$\begin{cases} i_1 = (V_E - v_1)G_1 + (v_2 - v_1)G_2 & \text{ma } i_1 = C_1 \frac{dv_1}{dt} \\ i_2 = (v_1 - v_2)G_2 - v_2G_3 & \text{e } i_2 = C_2 \frac{dv_2}{dt} \end{cases}$$

Si ottiene:

$$\begin{cases} \frac{dv_1}{dt} = -\frac{G_1 + G_2}{C_1} v_1 + \frac{G_2}{C_1} v_2 + \frac{G_1}{C_1} V_E \\ \frac{dv_2}{dt} = \frac{G_2}{C_2} v_1 - \frac{G_2 + G_3}{C_2} v_2 \end{cases}$$

- Punto di equilibrio

Si può porre  $\frac{dv_1}{dt} = \frac{dv_2}{dt} = 0$  nelle eq. di stato, ma è più veloce ricordare che in equilibrio i condensatori sono circuiti aperti e quindi il problema si riduce ad analizzare il circuito:



$$V_1 = \frac{R_2 + R_3}{R_1 + R_2 + R_3} V_E$$

$$V_2 = \frac{R_3}{R_1 + R_2 + R_3} V_E$$

Numericamente:

$$Q: V_1 = 8,33 \text{ V} \quad V_2 = 4,1667 \text{ V}$$

• Calcolo gli autovalori:

$$\underline{A} = \begin{bmatrix} -(G_1+G_2)/C_1 & G_2/C_1 \\ G_2/C_2 & -(G_2+G_3)/C_2 \end{bmatrix} = \begin{bmatrix} -0,07 & 0,02 \\ 0,02 & -0,04 \end{bmatrix}$$

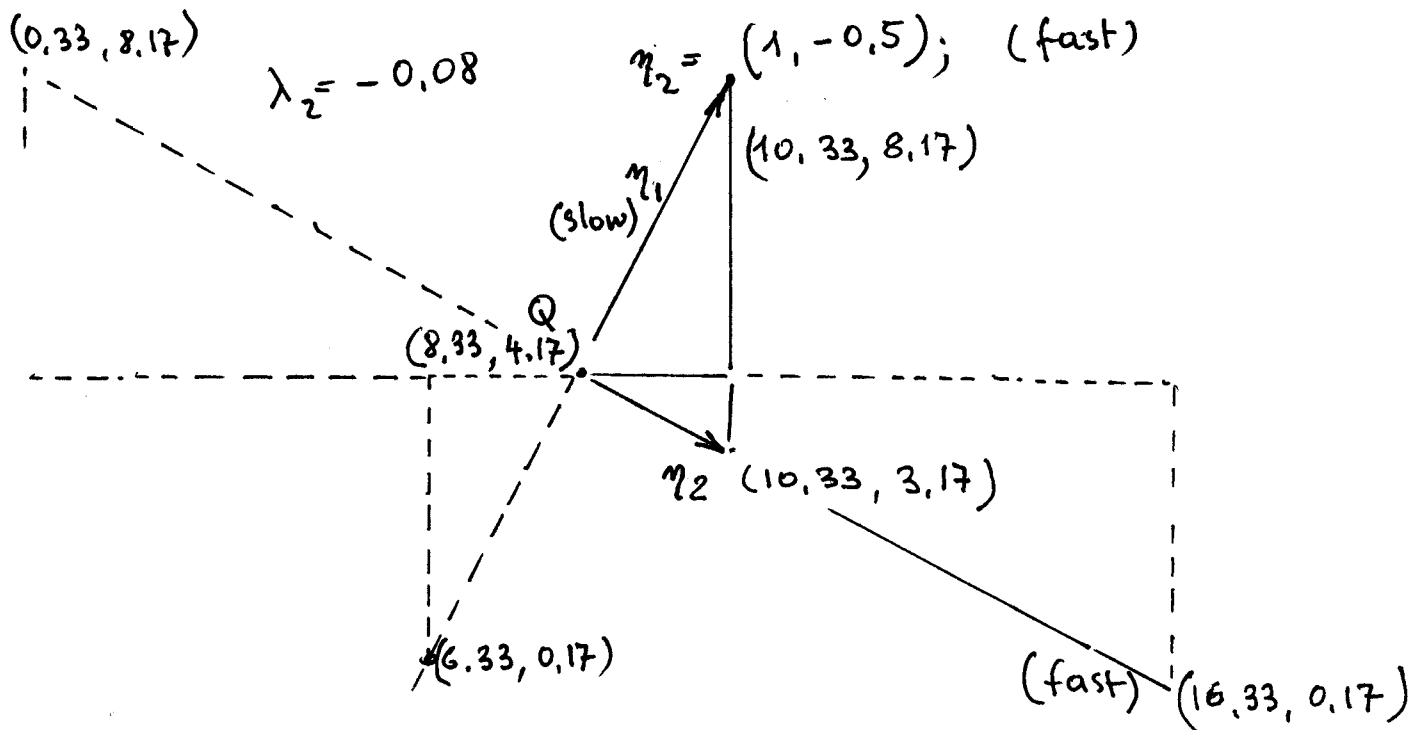
Gli autovalori valgono:  $-0,08$ ;  $-0,03$  (matlab)

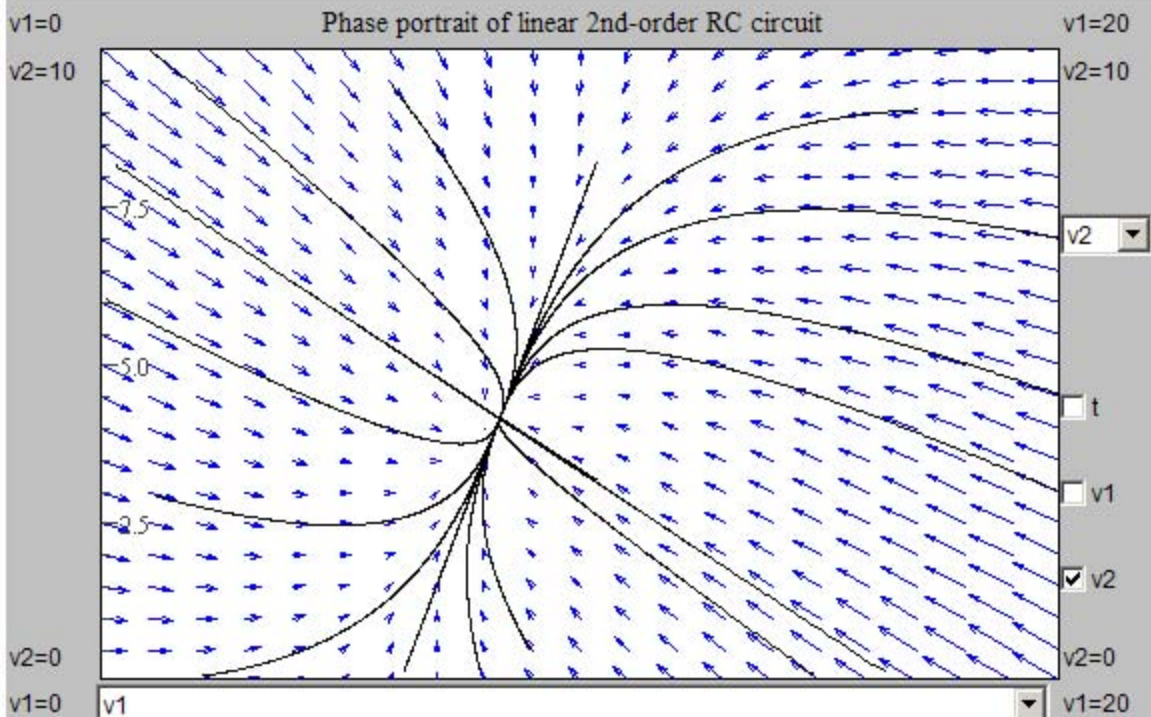
Quindi  $Q$  è un nodo stabile

Gli autovettori sono (matlab):

$$\lambda_1 = -0,03 \quad \eta_1 = (1, 2); \quad (\text{slow})$$

$$\lambda_2 = -0,08 \quad \eta_2 = (1, -0,5); \quad (\text{fast})$$





eqn #0: Initialization

eqn #1:  $dv1/dt = -(1/R1 + 1/R2)*v1/C1 + v2/(R2*C1) + VE/(R1*C1)$

eqn #2:  $dv2/dt = v1/(R2*C2) - v2*(1/R2 + 1/R3)/C2$

Min. t  Max. t

Min. v1  Max. v1

Min. v2  Max. v2

Num. of segs: t  v1  v2

Show:  Slope  Solution  Line  Point  Tick  Axis  Function  Init. Cond. RK4

Add init. cond.: v1  v2

Last error:

6.3.1, Strogatz, p. 151

$$\dot{x} = -x + x^3$$

$$\dot{y} = -2y$$

EQ. points  $\dot{x} = \dot{y} = 0$

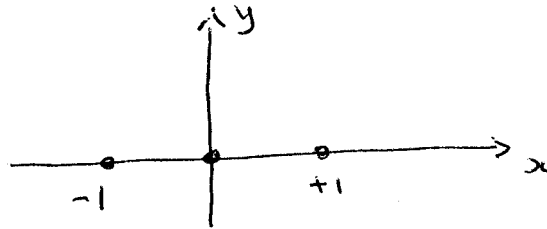
$$-x + x^3 = 0$$

$$2y = 0$$

$$x(x^2 - 1) = 0 \quad x(x-1)(x+1) = 0$$

$$y = 0$$

$$Q_1: (0, 0) \quad Q_2: (1, 0) \quad Q_3 = (-1, 0)$$



Calcolo Jacobiano

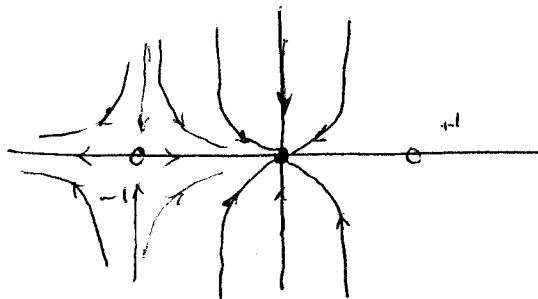
$$J = \begin{bmatrix} \frac{\partial f_1}{\partial x} & \frac{\partial f_1}{\partial y} \\ \frac{\partial f_2}{\partial x} & \frac{\partial f_2}{\partial y} \end{bmatrix} = \begin{bmatrix} -1 + 3x^2 & 0 \\ 0 & -2 \end{bmatrix}$$

$$Q_1: \begin{bmatrix} -1 & 0 \\ 0 & -2 \end{bmatrix}$$

$$Q_2, Q_3: \begin{bmatrix} 2 & 0 \\ 0 & -2 \end{bmatrix}$$

Stable node

Saddle



Si consideri il seguente sistema non lineare

$$\begin{cases} \dot{x} = x(3-x-2y) \\ \dot{y} = y(2-x-y) \end{cases} \quad x, y \geq 0$$

(Lotka-Volterra model of competition, (Strogatz, es. 6.4 p. 155))

Si vuole diagrammare il comportamento qualitativo nel piano delle fasi.

I) Ricerca dei punti di equilibrio

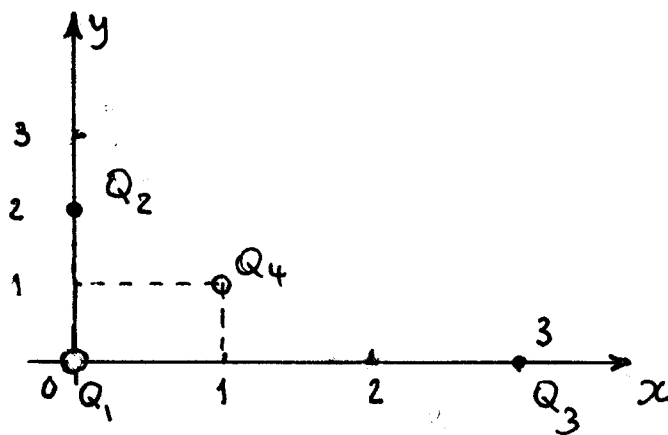
Ogni equazione contiene il prodotto di due fattori. In totale ho quattro casi per cui  $\dot{x} = \dot{y} = 0$ :

$$x=0 \quad y=0 \rightarrow Q_1 (0,0)$$

$$x=0 \quad 2-x-y=0 \rightarrow Q_2 (0,2)$$

$$y=0 \quad 3-x-2y=0 \rightarrow Q_3 (3,0)$$

$$\begin{cases} 3-x-2y=0 \\ 2-x-y=0 \end{cases} \begin{cases} x+2y=3 \\ x+y=2 \end{cases} \begin{cases} x=1 \\ y=1 \end{cases} \rightarrow Q_4 (1,1)$$



II) Valutazione della stabilità.

Calcolo lo Jacobiano

$$\underline{J} = \begin{bmatrix} \partial f_1 / \partial x & \partial f_1 / \partial y \\ \partial f_2 / \partial x & \partial f_2 / \partial y \end{bmatrix} = \begin{bmatrix} 3-2x-2y & -2x \\ -y & 2-x-2y \end{bmatrix}$$

Valuto lo Jacobiano nei diversi punti

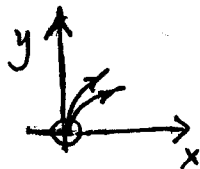
$$\boxed{Q_1 (0,0)} \quad \underline{J} = \begin{bmatrix} 3 & 0 \\ 0 & 2 \end{bmatrix} \rightarrow \lambda_{1,2} = \begin{cases} 3 \\ 2 \end{cases}$$

l'origine è quindi un nodo instabile.

Calcolo gli autovettori  $\underline{v}_1$  e  $\underline{v}_2$ . Indico con  $v_1, v_2$  le componenti di  $\underline{v}_1$ :

$$\left\{ \begin{bmatrix} 3 & 0 \\ 0 & 2 \end{bmatrix} - 2\underline{I} \right\} \begin{bmatrix} v_1 \\ v_2 \end{bmatrix} = 0 \quad \begin{bmatrix} 1 & 0 \\ 0 & 0 \end{bmatrix} \begin{bmatrix} v_1 \\ v_2 \end{bmatrix} = 0 \quad v_1 = 0, v_2 \text{ arbitrario}$$

scelgo  $v_2 = 1$  e quindi ho  $\underline{v}_1 = (0, 1)$ ; le traiettorie lasciano l'origine tangenti a  $\underline{v}_1$  (in un nodo, le traiettorie sono tangenti all'autovettore "lento", cioè quello corrispondente all'autovalore di modulo più piccolo). In questo caso le traiettorie sono tangenti all'asse y



$$\boxed{Q_2 (0,2)}$$

$$\underline{J} = \begin{bmatrix} -1 & 0 \\ -2 & -2 \end{bmatrix}$$

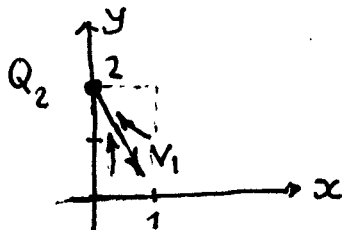
$$\xrightarrow{\text{matrice triangolare}} \lambda_1 = -1, \lambda_2 = -2$$

$Q_2$  è un nodo stabile

Le traiettorie si avvicinano a  $Q_2$  secondo la direzione dell'autovettore  $\underline{v}_1$  associato a  $\lambda_1$ .  $\underline{v}_1 = (v_1, v_2)$

$$\left\{ \begin{bmatrix} -1 & 0 \\ -2 & -2 \end{bmatrix} + \underline{I} \right\} \begin{bmatrix} v_1 \\ v_2 \end{bmatrix} = 0 \quad \begin{bmatrix} 0 & 0 \\ -2 & -1 \end{bmatrix} \begin{bmatrix} v_1 \\ v_2 \end{bmatrix} = 0 \quad -2v_1 - v_2 = 0$$

assumo  $v_1 = 1, v_2 = -2$ ;  $\underline{v}_1 = (1, -2)$



$$Q_3 (3,0)$$

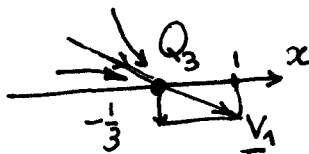
$$J = \begin{bmatrix} -3 & -6 \\ 0 & -1 \end{bmatrix}; \text{ matrice diagonale: } \lambda_1 = -1, \lambda_2 = -3$$

$Q_3$  è un nodo stabile.

L'autovettore associato a  $\lambda_1$  è  $\underline{v}_1 = (v_1, v_2)$

$$\left\{ \begin{bmatrix} -3 & -6 \\ 0 & -1 \end{bmatrix} + I \right\} \begin{bmatrix} v_1 \\ v_2 \end{bmatrix} = 0 \quad \begin{bmatrix} -2 & -6 \\ 0 & 0 \end{bmatrix} \begin{bmatrix} v_1 \\ v_2 \end{bmatrix} = 0 \quad -2v_1 - 6v_2 = 0$$

$$\underline{v}_1 = \left(1, -\frac{1}{3}\right)$$



$$Q_4 (1,1)$$

$$J = \begin{bmatrix} -1 & -2 \\ -1 & -1 \end{bmatrix}$$

$$\det \begin{bmatrix} -1-\lambda & -2 \\ -1 & -1-\lambda \end{bmatrix} = 0 \quad (1-\lambda)^2 - 2 = 0 \quad \lambda^2 - 2\lambda - 1 = 0$$

$$\lambda = -1 \pm \sqrt{1+1} = -1 \pm \sqrt{2} \quad \begin{cases} -1 - \sqrt{2} < 0; \lambda_1 \\ -1 + \sqrt{2} > 0; \lambda_2 \end{cases}$$

$Q_4$  è un punto di sella

Calcolo i due autovettori  $\underline{v}_1$  e  $\underline{v}_2$  corrispondenti a  $\lambda_1$  e  $\lambda_2$

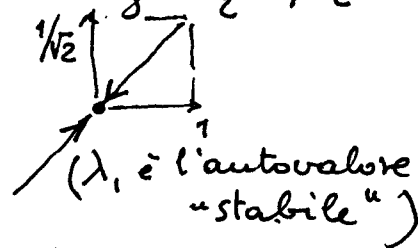
$\underline{v}_1$ :

$$\left\{ \begin{bmatrix} -1 & -2 \\ -1 & -1 \end{bmatrix} + (1+\sqrt{2})I \right\} \begin{bmatrix} v_1 \\ v_2 \end{bmatrix} = 0 \quad \begin{bmatrix} -1+1+\sqrt{2} & -2 \\ -1 & -1+1+\sqrt{2} \end{bmatrix} \begin{bmatrix} v_1 \\ v_2 \end{bmatrix} = 0$$

$$\begin{cases} \sqrt{2} v_1 - 2v_2 = 0 \\ -v_1 + \sqrt{2} v_2 = 0 \end{cases} \quad \text{Le due equazioni sono linearmente dipendenti (com'è giusto che sia)}$$

Prendo la seconda, ove pongo  $v_1 = 1$  e ottengo  $v_2 = 1/\sqrt{2}$

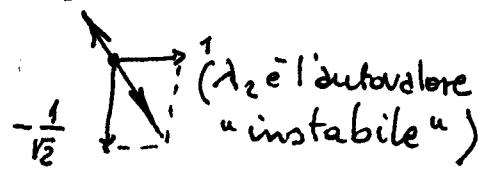
$$\underline{v}_1 = \left(1, \frac{1}{\sqrt{2}}\right)$$



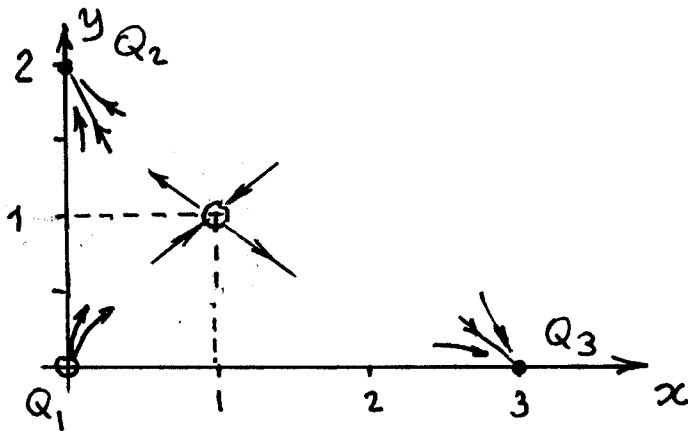
$\underline{v}_2$

$$\left\{ \begin{bmatrix} -1 & -2 \\ -1 & -1 \end{bmatrix} - (-1+\sqrt{2})I \right\} \begin{bmatrix} v_1 \\ v_2 \end{bmatrix} = 0 \quad \begin{bmatrix} -\sqrt{2} & -2 \\ -1 & -\sqrt{2} \end{bmatrix} \begin{bmatrix} v_1 \\ v_2 \end{bmatrix} = 0$$

$$\text{da cui } \underline{v}_2 = \left(1, -\frac{1}{\sqrt{2}}\right)$$



Combinando i risultati trovati in un unico grafico, si può avere già una buona idea dell'andamento qualitativo delle traiettorie nel piano delle fasi :



Si noti infine che in questo caso  $\dot{x}=0$  quando  $x=0$  e  $\dot{y}=0$  quando  $y=0$ , quindi l'asse  $x$  e l'asse  $y$  contengono delle traiettorie rettilinee che vanno da  $Q_1$  a  $Q_3$  e da  $Q_1$  a  $Q_2$ .



Pielou (1969), Edelstein-Keshet (1988), or Murray (1989) for additional references and analysis.

Our example also illustrates some general mathematical concepts. Given an attracting fixed point  $\mathbf{x}^*$ , we define its *basin of attraction* to be the set of initial conditions  $\mathbf{x}_0$  such that  $\mathbf{x}(t) \rightarrow \mathbf{x}^*$  as  $t \rightarrow \infty$ . For instance, the basin of attraction for the node at  $(3, 0)$  consists of all the points lying below the stable manifold of the saddle. This basin is shown as the shaded region in Figure 6.4.8.

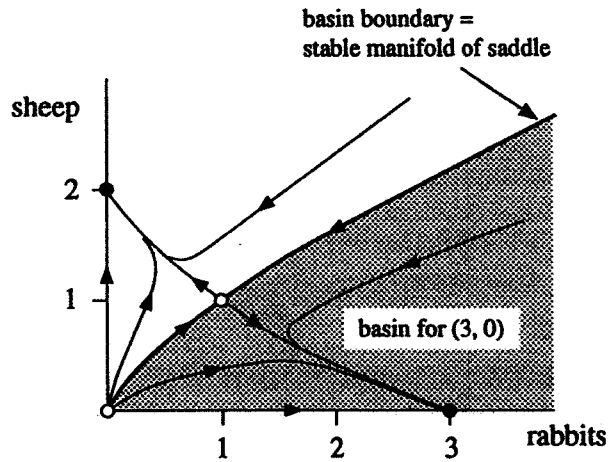


Figure 6.4.8

Because the stable manifold separates the basins for the two nodes, it is called the *basin boundary*. For the same reason, the two trajectories that comprise the stable manifold are traditionally called *separatrices*. Basins and their boundaries are important because they partition the phase space into regions of different long-term behavior.

## 6.5 Conservative Systems

Newton's law  $F = ma$  is the source of many important second-order systems. For example, consider a particle of mass  $m$  moving along the  $x$ -axis, subject to a nonlinear force  $F(x)$ . Then the equation of motion is

$$m\ddot{x} = F(x).$$

Notice that we are assuming that  $F$  is independent of both  $\dot{x}$  and  $t$ ; hence there is no damping or friction of any kind, and there is no time-dependent driving force.

Under these assumptions, we can show that *energy is conserved*, as follows. Let  $V(x)$  denote the *potential energy*, defined by  $F(x) = -dV/dx$ . Then

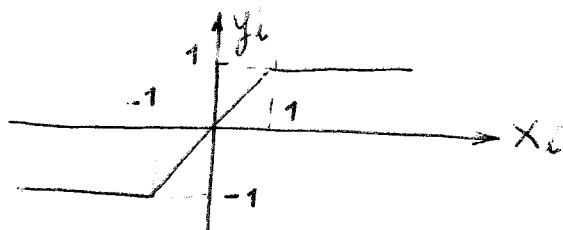
$$m\ddot{x} + \frac{dV}{dx} = 0. \quad (1)$$

## RETI ELETTRICHE NON LINEARI

Si consideri la rete neurale cellulare semplificata, composta da sole due celle, e descritta dal seguente sistema di equazioni differenziali:

$$\frac{dx_1}{dt} = -x_1 + a_{11} y_1 + a_{12} y_2 \quad (1)$$

$$\frac{dx_2}{dt} = -x_2 + a_{21} y_1 + a_{11} y_2 \quad (2)$$

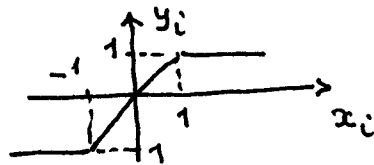


Assumendo  $a_{11} = 1.1$ ,  $a_{12} = -0.08$ ,  $a_{21} = 2.0$ :

1. Si determinino analiticamente tutti i punti di equilibrio della rete e le loro caratteristiche di stabilità.
2. Si determinino, per via numerica, le varietà stabili dei punti di sella.
3. Si verifichi che le varietà stabili dividono il piano  $x_1, x_2$  (spazio delle fasi) in tre regioni, che rappresentano i bacini di attrazione di opportuni attrattori.
4. Si determinino (sfruttando il risultato ottenuto al punto 1 e mediante la simulazione) i tre attrattori della rete corrispondenti ai tre bacini di attrazione.
5. Si verifichi, mediante la simulazione nel tempo, la correttezza dei bacini di attrazione e degli attrattori determinati ai punti 3 e 4.

La CNN è descritta da:

$$(1) \quad \begin{cases} \dot{x}_1 = -x_1 + a_{11}y_1 + a_{12}y_2 \\ \dot{x}_2 = -x_2 + a_{21}y_1 + a_{22}y_2 \end{cases} \quad \begin{matrix} a_{11} = 1,1 & a_{12} = -0,08 \\ a_{21} = 2,0 & \end{matrix}$$



Per uso con Jode,  $y_i$  è descritta da

$$y_i = -1 + \frac{q}{2} [ |x_{i+1}| + (x_{i+1}) ] - \frac{q}{2} [ |x_i - 1| + (x_i - 1) ] = \\ = \frac{1}{2} [ |x_{i+1}| - |x_i - 1| ]$$

1) Determino analiticamente tutti i punti di equilibrio e le loro caratteristiche di stabilità.

Osservo che se il sistema ammette la soluzione  $x_1, x_2$ , ammette anche la soluzione  $-x_1, -x_2$ . Quindi nel piano delle fasi le traiettorie ed i punti di equilibrio sono simmetrici rispetto all'origine.

Considero tutti i casi possibili:

$x_1 > 1, x_2 > 1 \rightarrow y_1 = 1, y_2 = 1$ . Le equazioni diventano:

$$\begin{cases} \dot{x}_1 = -x_1 + 1,1 - 0,08 \\ \dot{x}_2 = -x_2 + 2 + 1,1 \end{cases} \quad \begin{cases} \dot{x}_1 = -x_1 + 1,02 \\ \dot{x}_2 = -x_2 + 3,1 \end{cases}$$

Punto di equilibrio  $Q_1 = (1,02, 3,1)$  accettabile

Il sistema è lineare e gli autovalori sono dati da  $\det [A - \lambda I] = 0$ , con  $A = \begin{bmatrix} -1 & 0 \\ 0 & -1 \end{bmatrix} \rightarrow \lambda_{1,2} = -1$

Inoltre si osserva che le due equazioni sono disaccoppiate e possono quindi essere risolte separatamente.

$Q_1$  è stabile e si tratta di un nodo stella; le soluzioni sono:

$$\begin{cases} x_1 = (x_{10} - 1,02)e^{-t} + 1,02 \\ x_2 = (x_{20} - 3,10)e^{-t} + 3,10 \end{cases} \quad x_1, x_2 > 1$$

ove  $x_{10}$  e  $x_{20}$  sono i valori iniziali

$x_1 > 1, |x_2| < 1 \rightarrow y_1 = 1, y_2 = x_2$ . Le equazioni diventano:

$$\begin{cases} \dot{x}_1 = -x_1 + 1,1 - 0,08x_2 \\ \dot{x}_2 = -x_2 + 2,0 + 1,1x_2 \end{cases}$$

Cerco il punto di equilibrio:

$$\begin{cases} x_1 + 0,08x_2 = 1,1 \\ 1,1x_2 - x_2 = -2 \end{cases} \quad \begin{matrix} 0,1x_2 = -2 & x_2 = -20 \\ \text{NON ACCETTABILE} \end{matrix}$$

$x_1 > 1, x_2 < -1 \rightarrow y_1 = 1, y_2 = -1$ . Le eq. diventano:

$$\begin{cases} \dot{x}_1 = -x_1 + 1,1 + 0,08 \\ \dot{x}_2 = -x_2 + 2 - 1,1 \end{cases} \quad \begin{cases} \dot{x}_1 = -x_1 + 1,18 \\ \dot{x}_2 = -x_2 + 0,9 \end{cases}$$

Si ha l'equilibrio per  $x_2 = 0,9$ , NON ACCETTABILE

$|x_1| < 1, x_2 > 1 \quad y_1 = x_1, y_2 = 1$  Le eq. diventano:

$$\begin{cases} \dot{x}_1 = -x_1 + 1,1x_1 - 0,08 \\ \dot{x}_2 = -x_2 + 2,0x_1 + 1,1 \end{cases} \quad \begin{cases} \dot{x}_1 = 0,1x_1 - 0,08 \\ \dot{x}_2 = -x_2 + 2x_1 + 1,1 \end{cases}$$

Punto di equilibrio :  $x_1 = \frac{0,08}{0,1} = 0,8$

3/4  
28.12.07

$x = 2x_1 + 1,1 = 1,6 + 1,1 = 3,7$  ACCETTABILE

$Q_2 = (0,8, 2,7)$

Il sistema è lineare :  $\underline{A} = \begin{bmatrix} 0,1 & 0 \\ 2 & -1 \end{bmatrix}$

Gli autovalori sono  $\lambda_1 = 0,1$ ,  $\lambda_2 = -1$ ;  $Q_2$  è un punto di sella

$|x_1| < 1, |x_2| < 1$

$y_1 = x_1, y_2 = x_2$ . Le eq. diventano:

$$\begin{cases} \dot{x}_1 = -x_1 + 1,1x_1 - 0,08x_2 \\ \dot{x}_2 = -x_2 + 2,0x_1 + 1,1x_2 \end{cases} \quad \begin{cases} \dot{x}_1 = 0,1x_1 - 0,08x_2 \\ \dot{x}_2 = 2,0x_1 + 0,1x_2 \end{cases}$$

Equilibrio per  $\begin{cases} 0,1x_1 - 0,08x_2 = 0 \\ 2x_1 + 0,1x_2 = 0 \end{cases} \rightarrow x_1 = x_2 = 0$

$Q_3 = (0, 0)$

Calcolo gli autovalori:

$\underline{A} = \begin{bmatrix} 0,1 & -0,08 \\ 2 & 0,1 \end{bmatrix}$ ;  $\det(\underline{A} - \lambda \underline{I}) = \det \begin{bmatrix} 0,1 - \lambda & -0,08 \\ 2 & 0,1 - \lambda \end{bmatrix} =$

$= (0,1 - \lambda)^2 + 0,16$ ;  $\det(\underline{A} - \lambda \underline{I}) = 0: \lambda^2 - 0,2\lambda + 0,17 = 0$

$\lambda_{1,2} = 0,1 \pm \sqrt{0,01 - 0,17} = 0,1 \pm j\sqrt{0,16} = 0,1 \pm j0,4$

$Q_3$  è un fuoco instabile (o anche spirale instabile)

$|x_1| < 1, x_2 < -1 \quad y_1 = x_1, y_2 = -1$ . Le eq. diventano

$$\begin{cases} \dot{x}_1 = -x_1 + 1,1x_1 + 0,08 \\ \dot{x}_2 = -x_2 + 2x_1 - 1,1 \end{cases} \quad \begin{cases} \dot{x}_1 = +0,1x_1 + 0,08 \\ \dot{x}_2 = -x_2 + 2x_1 - 1,1 \end{cases}$$

Come previsto si trova un punto di equilibrio  $Q_4 = (-0,8, -2,7)$ , simmetrico di  $Q_2$  rispetto all'origine

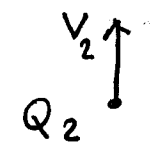
Così ci sarà un altro punto  $Q_5 = (-1,02, -3,1)$ , simmetrico di  $Q_1$  rispetto all'origine.

2) Per determinare le varietà stabili dei punti di sella, calcolo l'autovettore corrispondente a  $\lambda_2 = +1$  per il punto di sella  $Q_2 = (0,8, 2,7)$

$$[A - \lambda_2 I] \underline{v}_2 = 0 \quad \begin{bmatrix} 0,1+1 & 0 \\ 2 & 0 \end{bmatrix} \begin{bmatrix} v_1 \\ v_2 \end{bmatrix} = 0$$

$$\begin{cases} 1,1 v_1 = 0 \\ 2 v_1 = 0 \end{cases} \quad \begin{array}{l} \text{da cui deduco } v_1 = 0, v_2 \text{ qualsiasi;} \\ \text{assumo } v_2 = 1 \text{ e quindi } \underline{v}_2 = (0, 1) \end{array}$$

Si tratta di un vettore parallelo all'asse delle ordinate



La varietà stabile è quindi la retta  $x_1 = 0,8, x_2 > 1$  (valida fino a che  $x_2 > 1$ )

Quando  $x_2$  raggiunge il valore 1, entro nella regione  $|x_1| < 1, |x_2| < 1$ , con condizione iniziale  $x_{10} = 0,8, x_{20} = 1$ .

Ora devo integrare le eq. differenziali

$$\begin{cases} \dot{x}_1 = -0,1x_1 - 0,08x_2 \\ \dot{x}_2 = 2x_1 + 0,1x_2 \end{cases} \quad \begin{array}{l} \text{con } x_{10} = 0,8, x_{20} = 1 \\ \text{e autovalori } 0,1 \pm j0,4 \end{array}$$

Posso scrivere direttamente la soluzione

$$\begin{cases} x_1(t) = A_1 e^{0,1t} \cos(0,4t + \varphi_1) \\ x_2(t) = A_2 e^{0,1t} \cos(0,4t + \varphi_2) \end{cases} \quad \underline{x}(0) = \begin{bmatrix} 0,8 \\ 1 \end{bmatrix}$$

(Per il calcolo di  $\dot{x}(0)$  ho:

$$\dot{x}_1 = 0,1 \times 0,8 - 0,08 = 0$$

$$\dot{x}_2 = 2 \times 0,8 + 0,1 \times 1 = 1,6 + 0,1 = 1,7$$

Prima eq:

$$\dot{x}_1 = 0,1 A_1 e^{0,1t} \cos(0,4t + \varphi_1) + A_1 e^{0,1t} [-\text{sen}(0,4t + \varphi_1) \times 0,4]$$

$$\dot{x}_1(0) = 0,1 A_1 \cos \varphi_1 + A_1 \times (-0,4 \text{sen} \varphi_1)$$

Deve essere:

$$\begin{cases} A_1 \cos \varphi_1 = 0,8 \\ 0,1 A_1 \cos \varphi_1 - 0,4 A_1 \text{sen} \varphi_1 = 0 \end{cases} \quad \begin{cases} A_1 \cos \varphi_1 = 0,8 \\ 0,1 \cos \varphi_1 = 0,4 \text{sen} \varphi_1 \end{cases}$$

$$\begin{cases} A_1 \cos \varphi_1 = 0,8 \\ \text{tg} \varphi_1 = \frac{0,1}{0,4} = 0,25 \end{cases} \quad \begin{cases} A_1 = \frac{0,8}{\cos \varphi_1} = 0,8246 \\ \varphi_1 = 0,245 \text{ (rad)} \end{cases}$$

$$x_1(t) = 0,8246 e^{0,1t} \cos(0,4t + 0,245)$$

Calcolo ora  $x_2(t)$

$$\dot{x}_2(0) = 0,1 A_2 \cos \varphi_2 - 0,4 A_2 \text{sen} \varphi_2 = 1,7$$

$$\begin{cases} A_2 \cos \varphi_2 = 1 \\ 0,1 A_2 \cos \varphi_2 - 0,4 A_2 \text{sen} \varphi_2 = 1,7 \end{cases} \quad \begin{cases} A_2 \cos \varphi_2 = 1 \\ 0,1 \times 1 - 0,4 A_2 \text{sen} \varphi_2 = 1,7 \end{cases}$$

$$\begin{cases} -0,4 A_2 \text{sen} \varphi_2 = 1,6 \\ A_2 \cos \varphi_2 = 1 \end{cases} \quad \begin{cases} A_2 \text{sen} \varphi_2 = -4 \\ A_2 \cos \varphi_2 = 1 \end{cases}$$

$$A_2^2 = 16 + 1 = 17$$

$$A_2 = \sqrt{17}$$

$$\text{tg} \varphi_2 = -4$$



$$\varphi_2 = -1,3258$$

Le due equazioni sono:

$$\begin{cases} x_1(t) = 0,8246 e^{0,1t} \cos(0,4t + 0,245) & |x_1| < 1 \\ x_2(t) = 4,1231 e^{0,1t} \cos(0,4t - 1,3258) & |x_2| < 1 \end{cases}$$

Queste sono due eq. parametriche in t, che possono essere valutate per t < 0 (reverse time)

Il valore x<sub>2</sub> = -1 viene raggiunto per t = -1,3130 (matlab), corrispondentemente si ha x<sub>1</sub> = +0,6949. L'accordo con Jode è buono.

Ora si entra nella regione |x<sub>1</sub>| < 1 e x<sub>2</sub> < -1

Le eq. sono

$$\begin{cases} \dot{x}_1 = 0,1x_1 + 0,08 \\ \dot{x}_2 = -x_2 + 2x_1 - 1,1 \end{cases} \quad \text{con } \underline{x}(0) = \begin{bmatrix} +0,6949 \\ -1 \end{bmatrix}$$

Gli autovalori sono 0,1 e -1, la sol. ha la forma

$$\begin{cases} x_1(t) = a_1 e^{0,1t} + b_1 e^{-t} \\ x_2(t) = a_2 e^{0,1t} + b_2 e^{-t} \end{cases}$$

basta aggiungere il vincolo su ẋ(0):

$$\dot{x}_1(0) = 0,1 \times 0,6949 + 0,08 = 0,1495$$

$$\dot{x}_2(0) = 1 + 2 \times (0,6949) - 1,1 = 1,2898$$

$$\dot{x}_1(0) = 0,1a_1 - b_1$$

$$\dot{x}_2(0) = 0,1a_2 - b_2$$

In definitiva:

$$\begin{cases} a_1 + b_1 = +0,6949 \\ 0,1a_1 - b_1 = 0,1495 \end{cases} \quad \begin{cases} 1,1a_1 = 0,8444 \\ b_1 = +0,6949 - a_1 \end{cases} \quad \begin{cases} a_1 = 0,7676 \\ b_1 = -0,0727 \end{cases}$$



$$\begin{cases} a_2 + b_2 = -1 \\ 0,1a_2 - b_2 = -1,2898 \end{cases}$$

$$\begin{aligned} 1,1a_2 &= 0,2898 \\ b_2 &= -1 - a_2 \end{aligned}$$

$$\begin{cases} a_2 = 0,2635 \\ b_2 = -1,2635 \end{cases} \quad \boxed{4.4}$$

Le soluz. sono

$$\begin{cases} x_1(t) = 0,7676 e^{0,1t} - 0,0727 e^{-t} \\ x_2(t) = 0,2635 e^{0,1t} - 1,2635 e^{-t} \end{cases}$$

L'accordo con Jode è discreto (Euler, 0,1); Usando RK4, 0,01, si ottiene la separatrice partendo da  $x_1 = 0,515$ ,  $x_2 = -3,976$ . Implementando la funzione

$x_1(t)$  e  $x_2(t)$  con Matlab si ottiene  $x_1 = 0,439$ ,  $x_2 = -3,965$

Si noti che la tabulazione avviene per  $t$  negativi, quindi gli elementi più pesanti sono i due esponenziali che contengono  $e^{-t}$  (che diventano esponenziali con esp. positivo)

Per tempi piccoli l'accordo migliora:

$x_2$	$x_1$	
	JODE	MTLB
-1,998	0,61	0,595
-2,485	0,55	0,51
-3,976	0,515	0,439

Una piccola differenza nei valori iniziali di partenza porta ad amplificare le differenze

In effetti Jode dà, per  $x_2 = -1,001902$ ,  $x_1 = 0,694809$  (invece di 0,6949 da me usato per valutare  $x_1(t)$  e  $x_2(t)$ )